

Влияние сильно анизотропного турбулентного перемешивания на критическое поведение: Ренормгрупповой анализ двух необычных систем

Антонов Н.В., Малышев А.В.

Рассмотрено влияние сильно анизотропного турбулентного перемешивания на критическое поведение двух систем: критической динамики модели φ^3 , описывающей универсальные свойства метастабильных состояний вблизи фазового перехода первого рода, и реакционно-диффузионной системы вблизи точки перехода второго рода между флуктуационным и абсорбционным состояниями (простой эпидемический процесс или процесс Грибова). В обоих случаях продемонстрировано существование нового сильно неравновесного и анизотропного скейлингового режима (класса универсальности), для которого существенны как перемешивание, так и нелинейность по параметру порядка. Соответствующие критические размерности вычислены в однопетлевом приближении ренормализационной группы.

1 Введение

Многочисленные системы самой разной физической природы (магнетики, системы типа жидкость–пар, бинарные смеси) демонстрируют очень интересное поведение в окрестности критической точки (фазового перехода второго рода). Различные термодинамические величины (теплоемкость, спонтанная намагниченность, восприимчивость и т.д.) обнаруживают степенные особенности. Количественные характеристики такого поведения (например, критические размерности) зависят только от глобальных свойств системы (таких как симметрия или размерность пространства) и поэтому могут быть описаны на основе небольшого числа базовых моделей. Это позволяет объединять системы, различающиеся множеством несущественных (с точки зрения критического поведения) деталей в единые классы, характеризующиеся одним и тем же набором критических показателей.

Последовательное количественное описание критического поведения можно дать в рамках метода ренормализационной группы (РГ). В ренормгрупповом подходе возможные критические режимы связываются с инфракрасно-устойчивыми неподвижными точками некоторой ренормируемой теоретико-полевой модели. Цель теории – выделить основные классы универсальности, установить существование нужных неподвижных точек для соответствующих моделей, вычислить для них критические

размерности и скейлинговые функции в рамках последовательной теории возмущений. Подробное изложение аппарата ренормгруппы и его применений в теории критического поведения содержится в монографии [1].

Наиболее типичные фазовые переходы принадлежат классу $O(n)$ -симметричной модели φ^4 n -компонентного скалярного параметра порядка. Универсальные характеристики такого критического поведения зависят только от n и размерности пространства d . Однако, в последние годы все больший интерес привлекают фазовые переходы в системах, далеких от состояния термодинамического равновесия (см. например обзорную статью [2] и цитированную там литературу). Их критическое поведение гораздо более многообразно и пока недостаточно хорошо изучено.

Известно, что сильное влияние на критическое поведение могут оказывать внешние возмущения, примеси, гравитация, движение самой среды и т.д. Это может приводить к существенному искажению “идеального” критического поведения, а в некоторых случаях – даже к появлению новых классов универсальности [3]–[9]. Такие в целом разные системы как, например, магнетик со случайно распределенными примесями или бинарная смесь в турбулентной среде, объединяет общая особенность: существование неравновесных стационарных состояний с новым набором критических показателей. Кроме того, для таких систем, при наличии выделенного направления, критическое поведение оказывается сильно анизотропным: различным направлениям в пространстве соответствуют разные критические размерности.

Полномасштабная модель критической жидкости, подверженной сильно анизотропному турбулентному перемешиванию, должна описываться с помощью сохраняющегося (бинарная смесь, система жидкость–пар) или несохраняющегося (жидкие кристаллы) параметра порядка, взаимодействующего с полем скорости, которое в свою очередь подчиняется нелинейному динамическому уравнению (например, уравнению Навье-Стокса со случайной силой) и анизотропией, вводимой путем задания начальных или граничных условий.

В настоящей работе мы применяем РГ подход к несколько упрощенным моделям, в которых будет введено взаимодействие с гауссовым полем скорости, имитирующим некоторые реальные свойства турбулентности. Этого оказывается достаточно, чтобы уловить основную особенность проблемы: существование нового, неравновесного и сильно анизотропного класса универсальности. Мы рассмотрим две динамических модели. Первая из них – модель, описывающая фазовый переход между т.н. абсорбционным (неактивным) и флуктуационным (активным) состояниями некоторой реакционно-диффузионной системы. Более конкретно, будет рассмотрен процесс типа Грибова, называемый так потому, что соответствующая полевая модель близка к хорошо известной реджеонной теории поля [2]. Вторая же – релаксационная динамика несохраняющегося скалярного параметра порядка для модели с кубическим взаимодействием типа φ^3 . Как обнаружено недавно, эта модель описывает некоторые универсальные свойства метастабильных состояний, возникающих при фазовых переходах первого рода [10].

План работы таков. В разделе 2 дано описание моделей в терминах теории поля с соответствующей диаграммной техникой. В разделе 3 анализируются ультрафиолетовые расходимости моделей. Показано, что модели являются мультипликативно-ренормируемыми, и приведены ренормированные функционалы действия. Раздел 4 посвящен подсчету констант ренормировки Z для обеих моделей в однопетлевом приближении. В разделе 5 получены дифференциальные уравнения ренормгруппы и вычислены β -функции и аномальные размерности γ для всех полей и параметров (в том же приближении). Раздел 6 посвящен анализу неподвижных точек. В разделе 7 приведены результаты для наборов критических размерностей для всех режимов (всех неподвижных точек). Оказывается, что три из четырех неподвижных точек в обеих моделях отвечают уже известным типам критического поведения: свободной теории, пассивному скалярному полю и обычному процессу, отвечающему соответствующему взаимодействию. Четвертые точки отвечают новым неравновесным классам универсальности, для которых одновременно существенны и нелинейности моделей, и турбулентное перемешивание. В однопетлевом приближении получается, что для заданных значений параметров ε (отклонение размерности от логарифмической) и ξ (показатель степени в корреляторе поля скорости), по которым идет разложение, инфракрасно-устойчивой является лишь одна из точек, то есть реализуется определенный критический режим. В этом отношении результаты близки к полученным ранее в работе [8], где рассматривалось влияние турбулентного перемешивания на критическое поведение равновесной системы типа φ^4 . В качестве частного следствия общих скейлинговых соотношений рассмотрено распыление облака примесных частиц. Результаты работы кратко суммированы в Заключение.

В полевой формулировке обе модели выглядят схоже, отличаясь только видом потенциала взаимодействия и добавочным слагаемым в квадратичную часть, так что анализ их будет вестись параллельно. Где это необходимо, результаты для модели с взаимодействием Грибова будут помечаться индексом “1”, результатам же для второй модели в свою очередь будет отвечать индекс “2”.

2 Теоретико-полевая формулировка модели

Как уже упоминалось во Введении, в данной работе мы будем рассматривать две динамические модели. Обратимся теперь к их более детальному определению и переформулировке на языке теории поля.

В непрерывном пределе процесс Грибова (он же – направленный процесс протекания или простой эпидемический процесс) описывается стохастическим дифференциальным уравнением вида [2]

$$\partial_t \varphi(t, \mathbf{x}) = \lambda_0 (\partial^2 - \tau_0) \varphi(t, \mathbf{x}) - \frac{g_0 \lambda_0}{2} \varphi^2(t, \mathbf{x}) + \sqrt{\varphi(t, \mathbf{x})} \zeta(t, \mathbf{x}), \quad (1)$$

где $\varphi(t, \mathbf{x})$ – концентрация распространяющегося агента, $\tau \propto (p - p_c)$ – отклонение ве-

роятности процесса инфицирования (для определенности, использована терминология процессов распространения эпидемий) от критического значения, g_0 – константа взаимодействия, а случайный шум $\zeta(t, \mathbf{x})$ с гауссовым распределением и заданным коррелятором

$$\langle \zeta(t, \mathbf{x}) \zeta(t', \mathbf{x}') \rangle = g_0 \lambda_0 \delta(t - t') \delta^{(d)}(\mathbf{x} - \mathbf{x}') \quad (2)$$

моделирует случайные флуктуации. Здесь и далее d – размерность пространства \mathbf{x} , индекс “0” помечает различные ненормированные параметры моделей. Множитель $\sqrt{\varphi}$ перед вкладом шума в (1) обеспечивает полное исчезновение флуктуаций в неактивной (абсорбционной) фазе.

Обратимся ко второй модели. Релаксационную динамику несохраняющегося скалярного параметра порядка $\varphi(t, \mathbf{x})$ будем описывать с помощью стохастического дифференциального уравнения, подобного (1), но с т.н. аддитивным шумом (без дополнительного зависящего от поля φ множителя):

$$\partial_t \varphi(t, \mathbf{x}) = \lambda_0 (\partial^2 - \tau_0) \varphi(t, \mathbf{x}) - \frac{g_0 \lambda_0}{2} \varphi^2(t, \mathbf{x}) + \zeta(t, \mathbf{x}). \quad (3)$$

Под $\tau_0 \propto (T - T_0)$ теперь понимается отклонение температуры от ее критического значения (обозначения для двух моделей вводятся одинаково для удобства дальнейшего анализа), а коррелятор гауссова случайного шума $\zeta(t, \mathbf{x})$ выбирается в виде:

$$\langle \zeta(t, \mathbf{x}) \zeta(t', \mathbf{x}') \rangle = 2 \lambda_0 \delta(t - t') \delta^{(d)}(\mathbf{x} - \mathbf{x}'). \quad (4)$$

Подобная модель может описывать некоторые универсальные аспекты фазового перехода первого рода в системе жидкость–пар [10], тогда как поведение системы вблизи критической точки описывалось бы уравнением типа (3) с коррелятором (4) и нелинейностью φ^3 [1].

Различие в нормировке корреляторов шума в двух моделях объясняется соображениями удобства. Выбор (4) диктуется флуктуационно-диссипационной теоремой: одновременные корреляционные функции модели (1) описываются “статической” теорией φ^3 без дополнительных нормировочных множителей. Выбор (2) обеспечивает равенство (с точностью до знака) констант связи при двух вершинах взаимодействия в теоретико-полевой формулировке модели (3); см. выражение (10) ниже.

Взаимодействие с полем скорости вводится путем следующей замены:

$$\partial_t \rightarrow \nabla_t = \partial_t + v_i \partial_i, \quad (5)$$

где ∇_t – Лагранжева производная. В реальной ситуации поле скорости описывается нелинейным динамическим уравнением, например стохастическим уравнением Навье–Стокса со случайной силой, а анизотропия возникает из начальных и граничных условий. В настоящей работе турбулентный поток мы моделируем случайным полем скорости, имеющим гауссово распределение с исчезающе малым временем корреляции и степенным спектром, а анизотропия вводится следующим образом [11].

Пусть \mathbf{n} – постоянный единичный вектор, задающий выделенное направление (“направление потока”). Тогда любой вектор может быть разложен на две компоненты – перпендикулярную и параллельную потоку, например $\mathbf{x} = \mathbf{x}_\perp + \mathbf{n}x_\parallel$ и $\mathbf{x}_\perp \cdot \mathbf{n} = 0$. Поле скорости при этом выбирается в виде

$$\mathbf{v} = \mathbf{n}v(t, \mathbf{x}_\perp), \quad (6)$$

где $v(t, \mathbf{x}_\perp)$ – скалярная функция, не зависящая от x_\parallel . Легко заметить, что тогда условие поперечности (следствие несжимаемости жидкости) выполняется автоматически:

$$\partial_i v_i = \partial_\parallel v(t, \mathbf{x}_\perp) = 0. \quad (7)$$

Для $v(t, \mathbf{x}_\perp)$ примем гауссово распределение с нулевым средним и парным коррелятором вида:

$$\begin{aligned} \langle v(t, \mathbf{x}_\perp) v(t', \mathbf{x}'_\perp) \rangle &= \delta(t - t') \int \frac{d\mathbf{k}}{(2\pi)^d} \exp\{i\mathbf{k} \cdot (\mathbf{x} - \mathbf{x}')\} D_v(k) = \\ &= \delta(t - t') \int \frac{d\mathbf{k}_\perp}{(2\pi)^{d-1}} \exp\{i\mathbf{k}_\perp \cdot (\mathbf{x}_\perp - \mathbf{x}'_\perp)\} \tilde{D}_v(k_\perp), \quad k_\perp = |\mathbf{k}_\perp| \end{aligned} \quad (8)$$

со скалярной функцией

$$D_v(k) = 2\pi\delta(k_\parallel) \tilde{D}_v(k_\perp), \quad \tilde{D}_v(k_\perp) = D_0 k_\perp^{-d+1-\xi}. \quad (9)$$

Здесь $D_0 > 0$ – постоянная амплитуда, а ξ – произвольный показатель, который вместе ε (отклонением размерности пространства от ее логприфмического значения) будет играть роль формального малого параметра РГ-разложения. Инфракрасная (ИК) регуляризация обеспечивается обрезанием нижней границы интегрирования по k_\perp на $k_\perp = m$ (по размерности $\tau_0 \propto m^2$). Конкретная форма ИК-регуляризации не играет особой роли; обрезание малых импульсов наиболее удобно для практических вычислений.

Естественная область определения для показателя ξ – интервал $0 < \xi < 2$, для которого т.н. “вихревая вязкость”

$$\mathcal{V}(\mathbf{r}_\perp) = \int \frac{d\mathbf{k}_\perp}{(2\pi)^{d-1}} \{1 - \exp(i\mathbf{k}_\perp \cdot \mathbf{r}_\perp)\} \tilde{D}_v(k_\perp)$$

остается конечной при $m \rightarrow 0$. Это включает наиболее реалистическое значение $\xi = 4/3$, отвечающее предположениям теории Колмогорова–Обухова, тогда как $\xi \rightarrow 2$ соответствует “бэтчелоровскому” пределу большой вязкости. Добавим, что предложенный в [11] ансамбль [(8), (9)] является анизотропным аналогом известной модели Обухова–Крейчнана; см. например [12]. В последнее время подобные модели с “синтетическими” ансамблями поля скорости приобрели большую популярность, так как

с ними был связан значительный прогресс в понимании явления развитой турбулентности, в особенности аномального скейлинга; см. обзоры [12, 13] и цитированную там литературу.

Для обеспечения мультипликативной ренормируемости моделей необходимо “расщепить” лапласиан в (1) на параллельную и перпендикулярную составляющие $\partial^2 \rightarrow \partial_\perp^2 + f_0 \partial_\parallel^2$ путем введения нового параметра $f_0 > 0$ (в случае анизотропной среды эти два члена будут ренормироваться по-разному). Такое расщепление нарушает $SO(d)$ симметрию наших уравнений; интерпретация этого факта может быть разной. Флуктуационные модели типа (1)–(4) являются феноменологическими и по построению должны включать все вклады, допустимые по размерности и симметрии, с независимыми коэффициентами. Поскольку исходная $SO(d)$ симметрия уравнений все равно нарушается до $SO(d-1)$ в полных моделях с заменой (5), (6), естественно с самого начала рассматривать $SO(d-1)$ -симметричные аналоги наших уравнений, что и сводится к введению произвольного $f_0 \neq 1$. С другой стороны, можно было бы настаивать на изучении именно исходных моделей с $f_0 = 1$ и $SO(d)$ -ковариантным (нерасщепленным) Лапласианом. Тогда введение на данном этапе параметра $f_0 \neq 1$ следует рассматривать лишь как технический трюк, гарантирующий мультипликативную ренормируемость модели и позволяющий вывести уравнения РГ. При этом сами эти уравнения должны решаться с физическим начальным условием $f_0 = 1$. Как мы увидим, ИК-устойчивая неподвижная точка уравнений РГ единственна для любого конкретного выбора параметров ε и ξ , поэтому асимптотическое ИК-поведение для $f_0 = 1$ оказывается таким же, как и в общем случае с $f_0 \neq 1$.

Согласно общей теореме (см. например [1]), наши стохастические задачи (1), (2) и (1), (4) после всех подстановок эквивалентны теоретико-полевым моделям с расширенным набором полей $\Phi = \{\varphi', \varphi, v\}$ и функционалами действия вида:

$$S_1(\Phi) = \varphi' [-\partial_t - v\partial_\parallel + \lambda_0 (\partial_\perp^2 + f_0 \partial_\parallel^2) - \lambda_0 \tau_0] \varphi + \frac{\lambda_0 g_0 f_0^{1/4}}{2} \left((\varphi')^2 \varphi - \varphi^2 \varphi' \right) + S_0(v) \quad (10)$$

и

$$S_2(\Phi) = \lambda_0 (\varphi')^2 + \varphi' [-\partial_t - v\partial_\parallel + \lambda_0 (\partial_\perp^2 + f_0 \partial_\parallel^2) - \lambda_0 \tau_0] \varphi - \frac{\lambda_0 g_0 f_0^{1/4}}{2} \varphi' \varphi^2 + S_0(v) \quad (11)$$

соответственно.

В (10) и (11) мы выделили из зарядов g_0 множители $f_0^{1/4}$. При этом здесь подразумеваются все необходимые интегрирования по $x = \{t, \mathbf{x}\}$ и суммирования по векторным индексам, например:

$$\varphi' \partial_\perp^2 \varphi = \int dt \int d\mathbf{x} \varphi'(x) \partial_\perp^2 \varphi(x).$$

К действиям так же добавлено дополнительное слагаемое $S_0(v)$, описывающее статистику поля скорости:

$$S_0(v) = -\frac{1}{2} \int dt \int d\mathbf{x}_\perp d\mathbf{x}'_\perp v(t, \mathbf{x}_\perp) \tilde{D}_v^{-1}(|\mathbf{x}_\perp - \mathbf{x}'_\perp|) v(t, \mathbf{x}'_\perp), \quad (12)$$

где

$$\tilde{D}_v^{-1}(r_\perp) \propto D_0^{-1} r_\perp^{2(1-d)-\xi}. \quad (13)$$

Такая формулировка означает, что корреляционные функции исходных стохастических задач совпадают с функциями Грина теоретико-полевых моделей с функционалами действия (10) и (11), которые, в свою очередь, представляются функциональными средними с весом $\exp \mathcal{S}(\Phi)$. Это и позволяет нам применить к данным задачам теоретико-полевой метод РГ. Функции Грина с участием вспомогательного поля φ' отвечают функциям отклика в исходных стохастических задачах.

Модели (10) соответствует фейнмановская диаграммная техника с двумя типами затравочных пропагаторов (линий в диаграммах): пропагатор поля скорости $\langle vv \rangle_0$ был приведен ранее в (8), а функция отклика скалярного поля в частотно-импульсном представлении имеет вид:

$$\langle \varphi' \varphi \rangle_0 = \langle \varphi \varphi' \rangle_0^* = \frac{1}{-i\omega + \lambda_0(k_\perp^2 + f_0 k_\parallel^2 + \tau_0)}. \quad (14)$$

В импульсно-временном представлении она принимает вид

$$\langle \varphi'(t') \varphi(t) \rangle_0 = \theta(t - t') \exp \{ -\lambda_0(k_\perp^2 + f_0 k_\parallel^2 + \tau_0)(t - t') \},$$

где $\theta(\dots)$ – функция Хэвисайда (в данной форме записи сразу видно, что функция отклика является запаздывающей).

Модель также включает три типа вершин взаимодействия: $-\varphi' \varphi^2$, $(\varphi')^2 \varphi$ и $-\varphi'(v \partial_\parallel) \varphi$. Последняя, в силу поперечности поля скорости, равна $\varphi(v \partial_\parallel) \varphi'$ (можно перебросить производную на поле φ' интегрированием по частям).

Второй модели (11) отвечает диаграммная техника с тремя пропагаторами. Первые два совпадают с пропагаторами первой модели, а кроме того появляется дополнительный пропагатор

$$\langle \varphi \varphi \rangle_0 = \frac{2\lambda_0}{\omega^2 + \lambda_0^2(k_\perp^2 + f_0 k_\parallel^2 + \tau_0)^2}. \quad (15)$$

Вершин же тут только две: $-\varphi' \varphi^2$ и прежняя $-\varphi'(v \partial_\parallel) \varphi$.

3 Канонические размерности

Как известно, анализ ультрафиолетовых (УФ-) расходимостей связан с анализом канонических размерностей, см. например [1]. Обычно в динамических задачах каноническая размерность любой величины полностью описывается двумя независимыми

компонентами: частотной d_F^ω и импульсной d_F^k размерностями. Однако, в нашем случае из-за анизотропии необходимо ввести три независимых размерности – $d_{k_\perp}^F, d_{k_\parallel}^F, d_\omega^F$. Таким образом, для любой величины F можно написать:

$$[F] \sim [T]^{-d_F^\omega} [L_\perp]^{-d_F^\perp} [L_\parallel]^{-d_F^\parallel},$$

где L_\perp и L_\parallel независимые характерные масштабы в соответствующих подпространствах. Канонические размерности всех полей и констант, входящих в действие, находятся с использованием очевидных нормировочных соотношений $d_{k_\perp}^\perp = -d_{\mathbf{x}_\perp}^\perp = 1$, $d_{k_\perp}^\parallel = -d_{\mathbf{x}_\perp}^\parallel = 0$, $d_{k_\parallel}^\omega = d_{k_\parallel}^k = 0$, $d_\omega^\omega = -d_t^\omega = 1$ и т.д., а также из условия безразмерности (в каноническом смысле и для каждой из трех независимых размерностей) всех членов действия. Затем из этих трех независимых компонент можно составить суммарную размерность $d_F = d_F^k + 2d_F^\omega = d_F^\perp + d_F^\parallel + 2d_F^\omega$ (в свободной теории $\partial_t \propto \partial^2$), которая играет в ренормировке нашей модели ту же роль, что и обычная d_F^k в статике. Полный набор независимых канонических размерностей нужен, в частности, для нахождения полностью безразмерных параметров, от которых будут зависеть константы ренормировки. Канонические размерности (в том числе и для ренормированных параметров) для моделей (10) и (11) приведены в таблицах 1 и 2 соответственно.

Таблица 1: Канонические размерности полей и параметров модели (10).

F	φ, φ'	v	λ, λ_0	f, f_0	τ, τ_0	g_0	D_0	w_0
d_F^ω	0	1	1	0	0	0	1	0
d_F^\perp	$(d-1)/2$	0	-2	2	2	$(4-d)/2$	ξ	ξ
d_F^\parallel	1/2	-1	0	-2	0	0	-2	0
$d_F^k = d_F^\perp + d_F^\parallel$	$d/2$	-1	-2	0	2	$(4-d)/2$	$-2 + \xi$	ξ
$d_F = 2d_F^\omega + d_F^k$	$d/2$	1	0	0	2	$(4-d)/2$	ξ	ξ

Таблица 2: Канонические размерности полей и параметров модели (11).

F	φ	φ'	v	λ, λ_0	f, f_0	τ, τ_0	g_0	w_0
d_F^ω	0	0	1	1	0	0	0	0
d_F^\perp	$(d-3)/2$	$(d+1)/2$	0	-2	2	2	$(6-d)/2$	ξ
d_F^\parallel	1/2	1/2	-1	0	-2	0	0	0
$d_F^k = d_F^\perp + d_F^\parallel$	$d/2 - 1$	$d/2 + 1$	-1	-2	0	2	$(6-d)/2$	ξ
$d_F = 2d_F^\omega + d_F^k$	$d/2 - 1$	$d/2 + 1$	1	0	0	2	$(6-d)/2$	ξ

Здесь новая константа связи w_0 введена соотношением $D_0 = w_0 \lambda_0 f_0$. Из таблицы 1 видно, что первая модель (10) логарифмична (обе константы взаимодействия безразмерны) при $d = 4, \xi = 0$. Поэтому УФ-расходимости в корреляционных функциях

проявляются как сингулярности при $\varepsilon \equiv 4 - d \rightarrow 0$, $\xi \rightarrow 0$, например, как полюса по этим параметрам и их линейным комбинациям. Анализ таблицы 2 показывает, что вторая модель логарифмична при $d = 6$, $\xi = 0$. Соответствующий параметр отклонения от логарифмичности мы также будем обозначать $\varepsilon = 6 - d$.

Суммарная каноническая размерность произвольной 1-неприводимой функции Грина дается соотношением:

$$d_\Gamma = d + 2 - \sum_{\Phi} N_\Phi d_\Phi, \quad \sum_{\Phi} N_\Phi d_\Phi = N_{\varphi'} d_{\varphi'} + N_\varphi d_\varphi + N_v d_v. \quad (16)$$

Здесь $N_\Phi = \{N_\varphi, N_{\varphi'}, N_v\}$ – числа соответствующих полей, входящих в функцию Γ .

Суммарная размерность d_Γ в логарифмической теории (т.е. при $\varepsilon = \xi = 0$) является формальным индексом УФ-расходимости $\delta_\Gamma = d_\Gamma|_{\varepsilon=\xi=0}$. Поверхностные расходимости, для устранения которых требуется введение контрчленов, могут возникать только в тех диаграммах, для которых индекс расходимости – неотрицательное целое число.

Соображения размерности могут быть дополнены некоторыми наблюдениями, позволяющими сократить количество реально необходимых контрчленов. Например, можно заметить, что для модели с взаимодействием Гривова (10) все 1-неприводимые диаграммы отличны от нуля, только если они включают оба поля φ и φ' , т.е. одновременно $N_\varphi \geq 1$ и $N_{\varphi'} \geq 1$. В противном случае диаграммы обязательно содержат закороченный цикл запаздывающих пропагаторов $\langle \varphi \varphi' \rangle_0$ и следовательно исчезают, не требуя контрчленов. Подобное замечание можно сделать и для второй модели (11): здесь так же все 1-неприводимые функции без поля φ' исчезают и не требуют контрчленов. В частности, для обеих моделей любые функции, содержащие только поле скорости, подпадают под эти правила, и поэтому оно остается гауссовым. Функцию $\langle \varphi \varphi' v v \rangle$ также можно не рассматривать, т.к. соответствующий контрчлен $\varphi \varphi' v^2$ запрещен галилеевой инвариантностью. Аналогичная ситуация происходит и с функциями $\langle \varphi' v \rangle$ и $\langle \varphi' v v \rangle$ в модели (11). Для первой из них, контрчлен обязательно содержит пространственную производную, сворачивающуюся по индексу с полем скорости; это дает нуль в силу условия поперечности (7). Для второй из этих функций единственный контрчлен, не запрещенный галилеевой инвариантностью и поперечностью, имеет вид $\varphi'(\partial_i v_k)(\partial_k v_i)$. В общем случае он нетривиален, но для нашего поля скорости вида (6) он также обращается в нуль в силу (7): $(\partial_i n_k v)(\partial_k n_i v) = (n_i \partial_i v)(n_k \partial_k v) = 0$.

Кроме того, контрчлены типа $\varphi \partial_t \varphi'$ и $\varphi(v \partial_\parallel) \varphi'$ могут появляться в ренормированном действии только в виде галилеево-инвариантной комбинации типа $\varphi \nabla_t \varphi'$.

Выясним, в каких 1-неприводимых функциях могут содержаться УФ-расходимости, начав с модели (10). Формула (16) примет вид:

$$\delta_\Gamma = 6 - 2N_\varphi - 2N_{\varphi'} - N_v.$$

Выпишем все возможные функции (приведены сами функции, индексы расходимости

и возможные контрчлены):

$$\begin{aligned}
\langle \varphi' \varphi \rangle \quad (\delta = 2) & \quad \varphi' \partial_t \varphi, \varphi' \partial^2 \varphi, \varphi' \varphi, \\
\langle \varphi' \varphi \varphi \rangle \quad (\delta = 0) & \quad \varphi' \varphi^2, \\
\langle \varphi' \varphi' \varphi \rangle \quad (\delta = 0) & \quad (\varphi')^2 \varphi', \\
\langle \varphi' \varphi v \rangle \quad (\delta = 1), &
\end{aligned}$$

для которого контрчлен с необходимостью приводится к форме $\varphi'(v_i \partial_i) \varphi = \varphi'(v \partial_{\parallel}) \varphi$. Все такие члены представлены в действии (10), поэтому оказывается, что наша первая модель является мультипликативно-ренормируемой.

Обратимся ко второй модели. Формула (16) для модели (11) принимает вид:

$$\delta_{\Gamma} = 8 - 2N_{\varphi} - 4N_{\varphi'} - N_v.$$

Как уже указывалось выше, некоторые допустимые по формальному индексу расходимости в действительности запрещены галилеевой инвариантностью. В итоге остаются следующие 1-неприводимые функции:

$$\begin{aligned}
\langle \varphi' \varphi \rangle \quad (\delta = 2) & \quad \varphi' \varphi, \varphi' \partial_{\perp}^2 \varphi, \varphi' \partial_{\parallel}^2 \varphi, \\
\langle \varphi' \varphi' \rangle \quad (\delta = 0) & \quad (\varphi')^2, \\
\langle \varphi' \varphi \varphi \rangle \quad (\delta = 0) & \quad \varphi(\varphi)^2, \\
\langle \varphi' \varphi v \rangle \quad (\delta = 1) & \quad \varphi'(v \partial_{\parallel}) \varphi, \\
\langle \varphi' \rangle \quad (\delta = 4) & \quad \varphi'.
\end{aligned}$$

В действии (11) представлены все такие члены, кроме последнего, поэтому для обеспечения мультипликативности ренормировки к нему следовало бы добавить линейное по полю φ' слагаемое, то есть ввести его взаимодействие с некоторым внешним полем h . (Важно, что введение такого вклада не порождает новых расходимостей, т.е. не отражается на уже вычисленных при $h = 0$ контрчленах). Это приведет к некоторым неоднородным вкладам в уравнениях РГ, не влияющим на вид β -функций и, в конечном счете, критических размерностей. Поэтому в дальнейшем мы будем просто игнорировать этот вклад, считая (с такой оговоркой) модель (11) мультипликативно-ренормируемой, как и первую.

В итоге, ренормированные действия наших двух моделей можно записать в виде:

$$\begin{aligned}
S_{1R}(\Phi) = \varphi' \left[-Z_1 \partial_t - Z_6 v \partial_{\parallel} + \lambda (Z_2 \partial_{\perp}^2 + Z_3 f \partial_{\parallel}^2 - Z_4 \tau) \right] \varphi + \\
+ Z_5 \frac{\lambda g f^{1/4} \mu^{\varepsilon/2}}{2} ((\varphi')^2 \varphi - \varphi^2 \varphi') + S_R(v), \tag{17}
\end{aligned}$$

$$S_{2R}(\Phi) = Z_7 \lambda (\varphi')^2 + \varphi' [-Z_1 \partial_t - Z_6 v \partial_{\parallel} + \lambda (Z_2 \partial_{\perp}^2 + Z_3 f \partial_{\parallel}^2 - Z_4 \tau)] \varphi - \\ - Z_5 \frac{\lambda g f^{1/4} \mu^{\varepsilon/2}}{2} \varphi' \varphi^2 + S_R(v). \quad (18)$$

Здесь $S_R(v)$ – действие $S_0(v)$, выраженное в ренормированных переменных; само оно не ренормируется, потому что, как отмечалось выше, в наших моделях нет контрчленов, построенных только из поля скорости. Величины λ , τ , f , w и g – ренормированные аналоги исходных неренормированных параметров (отмеченных значком “0”). Как уже отмечалось выше, галилеева инвариантность требует, чтобы выражение $\partial_t + v \partial_{\parallel}$ входило в контрчлен как одно целое. Отсюда вытекает тождество $Z_1 = Z_6$, которое будет подтверждено прямым вычислением в однопетлевом приближении; пока же для общности мы будем различать эти константы.

Выражения (17) и (18) эквивалентны мультипликативной ренормировке полей $\varphi \rightarrow \varphi Z_{\varphi}$, $\varphi' \rightarrow \varphi' Z_{\varphi'}$, $v \rightarrow v Z_v$ и параметров:

$$\lambda_0 = \lambda Z_{\lambda}, \quad \tau_0 = \tau Z_{\tau}, \quad f_0 = f Z_u, \\ g_0 = g \mu^{\varepsilon/2} Z_g, \quad w_0 = w \mu^{\xi} Z_w, \quad (19)$$

где μ – добавочный произвольный параметр ренормированной теории (это свободный параметр, размерность его совпадает с размерностью импульса, будем считать, то $d_{\mu}^{\perp} = 1, d_{\mu}^{\parallel} = 0$). Константы Z из первой модели (17) и в формулах (19) соотносятся следующим образом:

$$Z_1 = Z_{\varphi'} Z_{\varphi}, \quad Z_2 = Z_{\varphi'} Z_{\lambda} Z_{\varphi}, \quad Z_3 = Z_{\varphi'} Z_{\lambda} Z_f Z_{\varphi}, \\ Z_4 = Z_{\varphi'} Z_{\lambda} Z_{\tau} Z_{\varphi}, \quad Z_5 = Z_{\lambda} Z_g Z_f^{1/4} Z_{\varphi'} Z_{\varphi}^2, \\ Z_6 = Z_{\varphi'} Z_v Z_{\varphi}, \quad 1 = Z_v^2 Z_w^{-1} Z_f^{-1} Z_{\lambda}^{-1}. \quad (20)$$

Последнее соотношение – следствие отсутствия ренормировки вклада $S_0(v) = S_R(v)$.

Для второй модели (18) соотношения (20) остаются верными, но к ним добавляется выражение для константы ренормировки Z_7 :

$$Z_7 = Z_{\lambda} (Z_{\varphi'})^2. \quad (21)$$

Кроме того для первой модели в виду симметрии потенциала есть связь на константы ренормировки полей φ' и φ :

$$Z_{\varphi'} = Z_{\varphi}. \quad (22)$$

Наконец, из галилеевой инвариантности вытекает равенство $Z_1 = Z_6$ (оно будет проверено прямым вычислением в первом порядке), из которого, в свою очередь, следует отсутствие ренормировки поля скорости: $Z_v = 1$.

Константы ренормировки сокращают все сингулярности по ε, ξ так, что сами корреляционные функции ренормированной модели имеют конечный предел при

$\varepsilon, \xi = 0$. Для доопределения конечной части при вычислении констант ренормировки мы будем пользоваться схемой минимальных вычитаний (МВ), в которой константы имеют форму $Z_i = 1 +$ только полюсные по ε, ξ части. Коэффициенты при этих полюсах будут зависеть только от безразмерных ренормированных констант взаимодействия g и w .

4 Вычисление констант ренормировки

Обратимся к вычислению констант ренормировки Z в однопетлевом приближении. Поясним сперва используемые ниже диаграммные обозначения. Волнистой линией будем обозначать пропагатор $\langle vv \rangle_0$; прямой линией со штрихом – пропагатор $\langle \varphi' \varphi \rangle_0$ (при чем штрих относится к полю φ'), а прямой линии без штрихов будет отвечать пропагатор $\langle \varphi \varphi \rangle_0$, имеющийся лишь во второй модели. Все диаграммные элементы должны быть выражены через ренормированные переменные (17)–(21). Однако, в однопетлевом приближении константы Z во всех затравочных слагаемых нужно брать в первом порядке по g^2 и w (реально разложение идет не по g , а по g^2), а в диаграммах их просто нужно заменить на единицы. Таким образом, переход к ренормированным переменным в диаграммах сводится к замене $\lambda_0 \rightarrow \lambda$, $f_0 \rightarrow f$, $\tau_0 \rightarrow \tau$, $g_0 \rightarrow g\mu^{\varepsilon/2}$ и $w_0 \rightarrow w\mu^{\xi}$.

Обратимся к первой модели (17). Приведем все 1-неприводимые функции, необходимые для расчета полного набора констант ренормировки, с однопетлевой точностью. Уравнение Дайсона для 1-неприводимой функции Грина $\langle \varphi' \varphi \rangle_{1-ir}$ в таком приближении примет вид:

$$\langle \varphi' \varphi \rangle_{1-ir} = -\{-i\omega Z_1 + \lambda p_{\perp}^2 Z_2 + \lambda f p_{\parallel}^2 Z_3 + \lambda \tau Z_4\} +$$

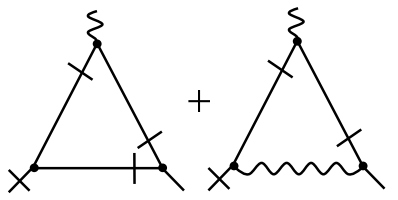
$$\frac{1}{2} + \text{diagram} + \text{diagram}. \quad (23)$$

Для 1-неприводимой корреляционной функции $\langle \varphi' \varphi' \varphi \rangle_{1-ir}$ имеем:

$$\langle \varphi' \varphi' \varphi \rangle_{1-ir} = g\lambda f^{1/4} Z_5 +$$

$$2 \text{diagram} + 2 \text{diagram} + \text{diagram}. \quad (24)$$

Наконец, 1-неприводимая функция $\langle \varphi' v \varphi \rangle_{1-ir}$, нужная лишь для объявленной проверки следствий галилеевой инвариантности, такова:

$$\langle \varphi' v \varphi \rangle_{1-ir} = -ip_{\parallel} Z_6 +$$

(25)

Мы не будем подробно описывать процесс вычисления этих диаграмм, лишь прокомментируем основные моменты. Сразу можно заметить, что вторая и третья диаграммы в (24) и вторая диаграмма в (25) оказываются УФ конечными, а, следовательно, не дают вклад в константы ренормировки Z . Действительно, благодаря свойству поперечности поля скорости (7), производная ∂_{\parallel} в тройной вершине $-\varphi' (v \partial_{\parallel}) \varphi$ может быть переброшена на внешнюю линию за счет интегрирования по частям. Таким образом, любая диаграмма, содержащая n внешних тройных вершин $-\varphi' (v \partial_{\parallel}) \varphi$, будет содержать множитель p_{\parallel}^n с внешним импульсом p_{\parallel} . Это понижает размерность интеграла, и он может стать УФ конечным, что и происходит с указанными диаграммами (для них $n = 2$).

Более того, так как пропагатор (14) запаздывающий, а (8) содержит δ -функцию по времени, то вторые диаграммы в (24) и (25) содержат замкнутые циклы функций Хэвисайда по времени, а значит, исчезают тождественно. Такой аргумент, однако, неприменим ко второй диаграмме в (23), которая требует более тщательного рассмотрения. Аналитическое выражение для этой диаграммы имеет вид:

$$I_1 = -\lambda f w \mu^{\xi} \int \frac{d\mathbf{k}_{\perp} dk_{\parallel} d\eta}{(2\pi)^d} \frac{\delta(k_{\parallel}) p_{\parallel} (p_{\parallel} - k_{\parallel})}{-i\eta + \lambda ((p_{\perp} - k_{\perp})^2 + f(p_{\parallel} - k_{\parallel})^2 + \tau)} \cdot \frac{1}{k_{\perp}^{d-1+\xi}}$$

Заметим что вклад этой диаграммы в Z_1 , Z_2 и Z_4 равен нулю. От внешней частоты она явно не зависит (внешнюю частоту можно “пропустить” по пропагатору скорости, а там нет зависимости от частоты), а независимость от τ и p_{\perp}^2 станет очевидной после интегрирования по внутренней частоте η . Покажем это, воспользовавшись равенством

$$\int \frac{d\eta}{2\pi} \frac{1}{(-i\eta + A)} = \frac{1}{2}. \quad (26)$$

Фактически это доопределение $\theta(0) = 1/2$, которое можно оправдать симметричностью коррелятора $\langle vv \rangle_0$. После его применения приходим к выражению

$$I_1 = -\frac{\lambda f w \mu^{\xi} p_{\parallel}^2}{2(2\pi)^{d-1}} \int_{k_{\perp} \geq m} d\mathbf{k}_{\perp} \frac{1}{k_{\perp}^{d-1+\xi}},$$

которое легко интегрируется в сферических координатах:

$$I_1 = -\frac{p_{\parallel}^2}{2\xi} \frac{f\lambda w}{(2\pi)^{d-1}} S_{d-1} \left(\frac{\mu}{m}\right)^{\xi} \simeq -p_{\parallel}^2 \frac{\lambda f w}{\xi},$$

где $S_d = 2\pi^{d/2}/\Gamma(d/2)$ – площадь единичной сферы в d -мерном пространстве. В последнем равенстве мы перешли к более удобной константе связи

$$w \rightarrow w S_{d-1}/2(2\pi)^{d-1} \rightarrow w/4\pi^2.$$

При этом, в соответствии с правилами схемы МВ, мы заменили d его логарифмическим значением $d = 4$, отбросив тем самым множитель порядка $1 + O(\varepsilon)$, который не содержит полюса по ε и не отражается в нашем приближении на виде констант ренормировки. Теперь нетрудно найти, что вклад от этой диаграммы в Z_3 равен $-w/\xi$.

Рассмотрим теперь первую диаграмму в (23). Аналитическое выражение для нее имеет вид

$$I_2 = -(\lambda g f^{1/4} \mu^{\varepsilon/2})^2 \int \frac{d\mathbf{k}_{\perp} dk_{\parallel} d\eta}{(2\pi)^{d+1}} \frac{1}{-i(\omega + \eta) + \lambda \left(\left(\frac{p_{\perp}}{2} + k_{\perp} \right)^2 + f \left(\frac{p_{\parallel}}{2} + k_{\parallel} \right)^2 + \tau \right)} \times \\ \times \frac{1}{i\eta + \lambda \left(\left(\frac{p_{\perp}}{2} - k_{\perp} \right)^2 + f \left(\frac{p_{\parallel}}{2} - k_{\parallel} \right)^2 + \tau \right)}.$$

Проинтегрировав по внутренней частоте η по вычетам и сделав стандартную для этих моделей замену $q_{\perp} = k_{\perp}, q_{\parallel} = f^{1/2} k_{\parallel}$, после интегрирования по q , получаем ($d = 4 - \varepsilon$):

$$I_2 = -(\lambda g f^{1/4} \mu^{\varepsilon/2})^2 \frac{1}{(2\pi)^d} \frac{1}{2\lambda f^{1/2}} \left(-\frac{i\omega}{2\lambda} + \tau + \frac{p_{\perp}^2}{4} + \frac{f p_{\parallel}^2}{4} \right)^{1-\frac{\varepsilon}{2}} (\pi)^{d/2} \Gamma\left(-1 + \frac{\varepsilon}{2}\right) = \\ = -\frac{u\lambda}{2} \left(-\frac{i\omega}{2\lambda} + \tau + \frac{p_{\perp}^2}{4} + \frac{f p_{\parallel}^2}{4} \right)^{1-\frac{\varepsilon}{2}} (2\mu)^{\varepsilon} \pi^{+\varepsilon/2} \Gamma\left(-1 + \frac{\varepsilon}{2}\right),$$

где также введен более удобный заряд

$$u = g^2 S_d/2(2\pi)^d \rightarrow g^2/16\pi^2$$

(как и в случае с w , значение d заменено его логарифмическим значением в согласии со схемой МВ). Отсюда находим вклады этой диаграммы в Z_1 – Z_4 , равные $u/4\varepsilon$, $u/8\varepsilon$, $u/8\varepsilon$ и $u/2\varepsilon$, соответственно.

Рассмотрим единственную оставшуюся диаграмму в (25). Ее индекс расходимости равен нулю, поэтому можно занулить все внешние импульсы и частоты, придя к аналитическому выражению вида

$$I_3 = -(\lambda g f^{1/4} \mu^{\varepsilon/2})^3 \int \frac{d\mathbf{k}_{\perp} dk_{\parallel} d\eta}{(2\pi)^{d+1}} \frac{1}{\left(-i\eta + \lambda \left(k_{\perp}^2 + f k_{\parallel}^2 + \tau \right) \right)^2} \cdot \frac{1}{i\eta + \lambda \left(k_{\perp}^2 + f k_{\parallel}^2 + \tau \right)}.$$

После интегрирования по η оно принимает вид:

$$I_3 = -\frac{\lambda g^3 f^{1/4} \mu^{3\varepsilon/2}}{4(2\pi)^d} \int d\mathbf{q} \frac{1}{(q^2 + \tau)}.$$

Окончательно, выполнив интегрирование по q , приходим к

$$I_3 \simeq -\frac{\lambda u f^{1/4}}{2\varepsilon},$$

то есть вклад этой диаграммы в Z_5 составляет u/ε с учетом коэффициента 2 в (24).

Обратимся теперь к диаграмме (25). Так как нас интересует только зависимость ее от продольных импульсов, все прочие внешние параметры можно положить равными нулю. У этой диаграммы три внешних “хвоста”, то есть число независимых внешних импульсов в общем случае равно двум. Однако, чтобы найти константу ренормировки, достаточно рассматривать только один импульс, текущий между хвостами φ и φ' . Действительно, пусть p_{\parallel} течет от φ' к φ , а импульс q_{\parallel} — от φ' к v . Тогда выражение для расходящейся части диаграммы будет иметь вид $\alpha p_{\parallel} + \beta q_{\parallel}$, где α и β — искомые величины. Однако контрчлен при β оказывается тождественно равным нулю: $\alpha \varphi'(v \partial_{\parallel}) \varphi + \beta \varphi'(\partial_{\parallel} v) \varphi$, а $\partial_{\parallel} v = 0$ согласно (7). Выпишем аналитическое выражение для этой диаграммы:

$$I_4 = (\lambda g f^{1/4} \mu^{\varepsilon/2})^2 \int \frac{d\mathbf{k}_{\perp} dk_{\parallel} d\eta}{(2\pi)^{d+1}} \frac{-ik_{\parallel}}{\left(-i\eta + \lambda \left(k_{\perp}^2 + f k_{\parallel}^2\right)\right)^2} \cdot \frac{1}{i\eta + \lambda \left(k_{\perp}^2 + f k_{\parallel}^2\right)}.$$

После интегрирования по η и \mathbf{k}_{\perp} и упоминавшейся выше замены приходим к выражению:

$$I_4 = -\frac{i}{(2\pi)^d} \frac{f^{-1/2} g^2 \mu^{\varepsilon}}{4} \int dq_{\parallel} q_{\parallel} \left(\left(q_{\parallel} - \frac{f^{1/2} p_{\parallel}}{2} \right)^2 + \frac{f p_{\parallel}}{2} \right)^{\frac{d-5}{2}} \pi^{(d-1)/2} \Gamma\left(\frac{5-d}{2}\right).$$

Вычитая и добавляя к q_{\parallel} в подынтегральном выражении $f^{1/2} p_{\parallel}/2$, разбиваем интеграл на два. Первый исчезает по соображениям четности, а второй легко вычислить:

$$I_4 = \frac{-ip_{\parallel}}{(2\pi)^d} \frac{g^2 \mu^{\varepsilon}}{8} \pi^{d/2} \Gamma\left(\frac{d-4}{2}\right) = \frac{-ip_{\parallel}}{8} u \pi^{\varepsilon/2} (2\mu)^{\varepsilon} \Gamma\left(\frac{d-4}{2}\right),$$

где мы также перешли к введенной ранее константе связи $u = (g/4\pi)^2$. Отсюда получаем $Z_6 = 1 + u/4\varepsilon$.

Приведем однопетлевые результаты для всех Z :

$$\begin{aligned} Z_1 = Z_6 &= 1 + \frac{u}{4\varepsilon}, & Z_2 &= 1 + \frac{u}{8\varepsilon}, & Z_3 &= 1 + \frac{u}{8\varepsilon} - \frac{w}{\xi}, \\ Z_4 &= 1 + \frac{u}{2\varepsilon}, & Z_5 &= 1 + \frac{u}{\varepsilon}, \end{aligned} \tag{27}$$

Таким образом, для первой модели в однопетлевом приближении мы прямым расчетом подтвердили точное равенство $Z_1 = Z_6$, то есть $Z_v = 1$; см. (20).

Обратимся теперь к модели (18) и приведем все необходимые для расчета ее констант ренормировки 1-неприводимые функции в однопетлевом приближении. Уравнение Дайсона для $\langle \varphi' \varphi \rangle_{1-ir}$ здесь имеет вид:

$$\langle \varphi' \varphi \rangle_{1-ir} = -\{-i\omega Z_1 + \lambda p_\perp^2 Z_2 + \lambda f p_\parallel^2 Z_3 + \lambda \tau Z_4\} +$$

$$\begin{array}{c} \text{---} \bullet \text{---} \bigcirc \text{---} \bullet \text{---} + \text{---} \bullet \text{---} \text{---} \text{---} \bullet \text{---} \end{array} . \quad (28)$$

Для 1-неприводимой корреляционной функции $\langle \varphi' \varphi \varphi \rangle_{1-ir}$ имеем:

$$\langle \varphi' \varphi \varphi \rangle_{1-ir} = -g \lambda f^{1/4} Z_5 +$$

$$\begin{array}{c} \text{---} \bullet \text{---} \triangle \text{---} \bullet \text{---} + 2 \text{---} \bullet \text{---} \triangle \text{---} \bullet \text{---} + \text{---} \bullet \text{---} \triangle \text{---} \bullet \text{---} \end{array} . \quad (29)$$

Функция, необходимая для проверки следствий галилеевой инвариантности такова:

$$\langle \varphi' v \varphi \rangle_{1-ir} = -ip_\parallel Z_6 +$$

$$\begin{array}{c} \text{---} \times \text{---} \triangle \text{---} \times \text{---} + \text{---} \times \text{---} \triangle \text{---} \times \text{---} + \text{---} \times \text{---} \triangle \text{---} \times \text{---} + \text{---} \times \text{---} \triangle \text{---} \times \text{---} \end{array} . \quad (30)$$

Наконец, для 1-неприводимой функции Грина $\langle \varphi \varphi \rangle_{1-ir}$ имеем:

$$\langle \varphi' \varphi' \rangle_{1-ir} = 2\lambda Z_7 +$$

$$\frac{1}{2} \text{---} \bullet \text{---} \bigcirc \text{---} \bullet \text{---} + \text{---} \bullet \text{---} \text{---} \text{---} \bullet \text{---} . \quad (31)$$

Здесь также, благодаря специфическим особенностям нашей системы, некоторые диаграммы исчезают или оказываются УФ конечными и, следовательно, не дают вклада в ренормировочные константы. Например, за счет наличия двух внешних, тройных вершин $-\varphi'(v\partial_{\parallel})\varphi$ последние диаграммы в (29), (30) и (31) – УФ конечны. Сделаем некоторые замечания по поводу вычисления оставшихся диаграмм.

Рассмотрим ренормировку 1-неприводимой функции $\langle\varphi'\varphi\rangle_{1-ir}$. Вторые диаграммы в (23) и (28) совпадают, так что мы просто используем уже полученный ранее результат. Новые заряды введем следующим образом:

$$u = g^2 S_d / 2(2\pi)^d \rightarrow g^2 / 128\pi^3, \quad w \rightarrow w S_{d-1} / 2(2\pi)^{d-1} \rightarrow w / 24\pi^3,$$

поскольку теперь d нужно заменить логарифмическим значением $d = 6$. Аналитическое выражение для первой диаграммы таково:

$$I_5 = (-\lambda g f^{1/4} \mu^{\varepsilon/2})^2 \int \frac{d\mathbf{k}_{\perp} dk_{\parallel} d\eta}{(2\pi)^{d+1}} \frac{1}{-i(\omega + \eta) + \lambda \left((\frac{p_{\perp}}{2} + k_{\perp})^2 + f(\frac{p_{\parallel}}{2} + k_{\parallel})^2 + \tau \right)} \times \\ \times \frac{2\lambda}{\eta^2 + \lambda^2 \left((\frac{p_{\perp}}{2} - k_{\perp})^2 + f(\frac{p_{\parallel}}{2} - k_{\parallel})^2 + \tau \right)^2}.$$

После интегрирования по внутренней частоте η и перехода к переменной q получаем:

$$I_5 = \frac{\lambda g^2 \mu^{\varepsilon}}{2(2\pi)^d} \int d\mathbf{q}_{\perp} dq_{\parallel} \frac{1}{\left((\frac{p_{\perp}}{2} - q_{\perp})^2 + (\frac{f^{1/2} p_{\parallel}}{2} - q_{\parallel})^2 + \tau \right)} \cdot \frac{1}{\frac{\omega}{2i\lambda} + \left(q_{\perp}^2 + q_{\parallel}^2 + \tau + \frac{p_{\perp}^2 + f p_{\parallel}^2}{4} \right)}.$$

Вводя обозначение $\tilde{p}_{\perp} = p_{\perp}$, $\tilde{p}_{\parallel} = f^{1/2} p_{\parallel}$ и применив формулу Фейнмана

$$\frac{1}{A^{\alpha} B^{\beta}} = \frac{\Gamma(\alpha + \beta)}{\Gamma(\alpha)\Gamma(\beta)} \int_0^1 dt \frac{t^{\alpha-1} (1-t)^{\beta-1}}{[tA + (1-t)B]^{\alpha+\beta}}$$

получаем:

$$I_5 = \frac{\lambda g^2 \mu^{\varepsilon}}{2(2\pi)^d} \int d\mathbf{q} \int_0^1 dt \frac{1}{\left(k^2 - t(\tilde{p}q) + \left(\tau + \frac{\tilde{p}^2}{4} + \frac{\omega}{2i\lambda}(1-t) \right) \right)^2}.$$

Интеграл с квадратичной формой по импульсу в знаменателе вычисляется стандартным образом, а после выделения полюсной части легко выполняется и оставшееся интегрирование по t . Окончательно получаем:

$$I_5 \simeq -\frac{\lambda g^2}{(2\pi)^6} \frac{\pi^3}{\varepsilon} \left(\tau + \frac{\omega}{4i\lambda} + \frac{p_{\perp}^2 + f p_{\parallel}^2}{6} \right) \simeq -\frac{\lambda u}{\varepsilon} \left(2\tau - \frac{i\omega}{2\lambda} + \frac{p_{\perp}^2 + f p_{\parallel}^2}{3} \right).$$

Теперь нетрудно найти вклады этой диаграммы в Z_1 – Z_4 : они равны $-u/2\varepsilon$, $-u/3\varepsilon$, $-u/3\varepsilon$ и $-2u/\varepsilon$ соответственно.

Первая и вторая диаграммы в (29) вычисляются практически одинаково, так что остановимся только на первой из них. Индекс расходимости для этих диаграмм равен нулю, поэтому можем положить равными нулю внешние частоту и импульс (τ оставляем для ИК-регуляризации). Тогда получаем следующее аналитическое выражение для первой диаграммы:

$$\begin{aligned} I_6 &= (-\lambda g f^{1/4} \mu^{\varepsilon/2})^3 \int \frac{d\mathbf{k}_\perp dk_\parallel d\eta}{(2\pi)^{d+1}} \frac{2\lambda}{\eta^2 + \lambda^2 \left(\left(\frac{p_\perp}{2} - k_\perp \right)^2 + f k_\parallel^2 + \tau \right)^2} \times \\ &\quad \times \frac{1}{-i\eta + \lambda \left(k_\perp^2 + f k_\parallel^2 + \tau \right)} \cdot \frac{1}{i\eta + \lambda \left(k_\perp^2 + f k_\parallel^2 + \tau \right)} = \\ &= -\frac{2\lambda^4 g^3 f^{1/4} \mu^{3\varepsilon/2}}{(2\pi)^{d+1}} \int d\mathbf{q} d\eta \frac{1}{(\eta^2 + \lambda^2 (q^2 + \tau))^2}. \end{aligned}$$

Проинтегрировав по η , получаем выражение, которое нетрудно проинтегрировать и по импульсу:

$$I_6 = -\frac{g^3 f^{1/4} \lambda \mu^{3\varepsilon/2} \pi}{(2\pi)^{d+1}} \int d\mathbf{q} \frac{1}{(q^2 + \tau)^3} = -\frac{g^3 f^{1/4} \lambda \mu^{3\varepsilon/2} \pi}{2(2\pi)^{d+1}} \tau^{-\varepsilon/2} \Gamma\left(\frac{\varepsilon}{2}\right) \pi^{d/2} \simeq -\frac{g f^{1/4} \lambda u}{\varepsilon}.$$

Таким образом, ее вклад в Z_5 составляет $-u/\varepsilon$.

Рассмотрим теперь диаграммы (30), чтобы проверить выполнение условия галилеевой инвариантности и для второй модели. Вычисление первой и третьей диаграмм не включает в себе никаких трудностей, поэтому обратимся сразу ко второй диаграмме. Как и в первом случае, достаточно пропустить внешний импульс p_\parallel от хвоста φ' к хвосту φ . Тогда аналитическое выражение для диаграммы принимает вид:

$$\begin{aligned} I_7 &= (-\lambda g f^{1/4} \mu^{\varepsilon/2})^2 \int \frac{d\mathbf{k}_\perp dk_\parallel d\eta}{(2\pi)^{d+1}} \frac{-2i\lambda k_\parallel}{\eta^2 + \lambda^2 \left(k_\perp^2 + f k_\parallel^2 + \tau \right)} \times \\ &\quad \times \frac{1}{-i\eta + \lambda \left(k_\perp^2 + f k_\parallel^2 + \tau \right)} \cdot \frac{1}{i\eta + \lambda \left(k_\perp^2 + f (k_\parallel - p_\parallel)^2 + \tau \right)}. \end{aligned}$$

Проинтегрировав по η по вычетам и сложив возникающие от двух полюсов вклады, после некоторых преобразований получаем:

$$I_7 = \frac{-i g^2 \mu^\varepsilon}{4(2\pi)^d f^{1/2}} \int d\mathbf{q} q_\parallel \cdot \frac{2(q^2 + \tau) + \tilde{p}_\parallel \left(\frac{\tilde{p}_\parallel}{2} - q_\parallel \right)}{(q^2 + \tau)^2 \left(q^2 - q_\parallel \tilde{p}_\parallel + \frac{\tilde{p}_\parallel^2}{2} + \tau \right)^2}.$$

Все обозначения уже пояснялись выше. Нас интересует линейный по \tilde{p}_{\parallel} член. При $\tilde{p}_{\parallel} = 0$ подынтегральное выражение конечно, поэтому разложим его в ряд по этому импульсу. В итоге остается вычислить следующий интеграл:

$$I_7 = \frac{-ig^2\mu^\varepsilon\tilde{p}_{\parallel}}{4(2\pi)^d f^{1/2}} \int d\mathbf{q} \frac{3q_{\parallel}^2}{(q^2 + \tau)^4}.$$

Заметим, что в оставшемся интеграле единственный источник анизотропии – множитель q_{\parallel}^2 , поэтому можно заменить его на q^2/d , сведя подынтегральное выражение к изотропному. Вычисляя полученный интеграл, находим:

$$\begin{aligned} \int d\mathbf{q} \frac{q^2}{(q^2 + \tau)^4} &= \int d\mathbf{q} \frac{1}{(q^2 + \tau)^3} - \tau \int d\mathbf{q} \frac{1}{(q^2 + \tau)^4} = \\ &= \pi^{d/2} \tau^{d/2-3} \left[\frac{\Gamma(3 - \frac{d}{2})}{2} - \frac{\Gamma(4 - \frac{d}{2})}{6} \right]. \end{aligned}$$

Второе слагаемое конечно, так что его можно отбросить. Окончательно получаем:

$$I_7 = \frac{-3ip_{\parallel}g^2\mu^\varepsilon}{4d(2\pi)^d} \int d\mathbf{q} q^2 (q^2 + \tau)^{-4} = \frac{-3ip_{\parallel}g^2\mu^\varepsilon}{8d(2\pi)^d} \tau^{-\varepsilon/2} \Gamma\left(\frac{\varepsilon}{2}\right) \pi^{d/2} \simeq \frac{-ip_{\parallel}u}{4\varepsilon}.$$

Вычисление единственной оставшейся диаграммы в (31) не включает в себя никаких принципиально новых моментов.

Итак, суммируем окончательные результаты для констант ренормировки Z для второй модели:

$$Z_1 = Z_6 = Z_7 = 1 - \frac{u}{2\varepsilon}, \quad Z_2 = 1 - \frac{u}{3\varepsilon}, \quad Z_3 = 1 - \frac{u}{3\varepsilon} - \frac{w}{\xi}, \quad Z_4 = Z_5 = 1 - \frac{2u}{\varepsilon}. \quad (32)$$

Видно, что вытекающее из галилеевой инвариантности равенство $Z_1 = Z_6$ для второй модели также выполняется.

5 Уравнение ренормгруппы

Уравнение ренормгруппы записывается для ренормированной корреляционной функции $G_R = \langle \Phi \cdots \Phi \rangle_R$, которая отличается от первоначальной (неренормированной) $G = \langle \Phi \cdots \Phi \rangle$ только нормировкой и выбором параметров и, следовательно, с равным правом может быть использована для анализа критического поведения. Соотношение $\mathcal{S}_{(1,2)R}(\Phi, e, \mu) = \mathcal{S}_{(1,2)}(\Phi, e_0)$ между функционалами действия (10), (11) и (17), (18) приводит к соотношению между корреляционными функциями:

$$G(e_0, \dots) = Z_{\varphi}^{N_{\varphi}} Z_{\varphi'}^{N_{\varphi'}} G_R(e, \mu, \dots). \quad (33)$$

Здесь, как обычно, N_φ и $N_{\varphi'}$ – степени входящих в G полей (напомним, что в силу галилеевой инвариантности поле скорости не ренормируется: $Z_v = 1$); $e_0 = \{\lambda_0, \tau_0, f_0, w_0, u_0\}$ – набор первоначальных параметров и $e = \{\lambda, \tau, f, w, u\}$ – их ренормированные аналоги; точки обозначают остальные переменные (время, координата, импульс и т.д.).

Применим оператор $\tilde{\mathcal{D}}_\mu \equiv \mu \partial_\mu$ при фиксированных переменных набора e_0 . Это дает основное дифференциальное уравнение ренормгруппы на функцию $G_R(e, \mu, \dots)$

$$\{\mathcal{D}_{RG} + N_\varphi \gamma_\varphi + N_{\varphi'} \gamma_{\varphi'}\} G_R(e, \mu, \dots) = 0, \quad (34)$$

где \mathcal{D}_{RG} – оператор $\tilde{\mathcal{D}}_\mu$, выраженный в ренормированных переменных:

$$\mathcal{D}_{RG} \equiv \mathcal{D}_\mu + \beta_u \partial_u + \beta_w \partial_w - \gamma_f \mathcal{D}_f - \gamma_\lambda \mathcal{D}_\lambda - \gamma_\tau \mathcal{D}_\tau. \quad (35)$$

Здесь и далее $\mathcal{D}_x \equiv x \partial_x$ для любой переменной x и

$$\gamma_F \equiv \mathcal{D}_\mu \ln Z_F \quad (36)$$

– аномальная размерность для любой величины F . В свою очередь β функции для двух безразмерных констант u и w имеют вид:

$$\beta_u \equiv \tilde{\mathcal{D}}_\mu u = u [-\varepsilon - \gamma_u], \quad \beta_w \equiv \tilde{\mathcal{D}}_\mu w = w [-\xi - \gamma_w], \quad (37)$$

где вторые равенства следуют из определений и соотношений (19). Уравнения (20) приводят к следующим соотношениям между аномальными размерностями для первой модели (17):

$$\begin{aligned} \gamma_1 = \gamma_6 = \gamma_{\varphi'} + \gamma_\varphi, \quad \gamma_2 = \gamma_\lambda + \gamma_1, \quad \gamma_3 = \gamma_f + \gamma_2, \\ \gamma_4 = \gamma_\tau + \gamma_2, \quad \gamma_5 = \gamma_\lambda + \gamma_g + \frac{1}{4} \gamma_f + \gamma_{\varphi'} + 2\gamma_\varphi. \end{aligned} \quad (38)$$

В силу (22) получаем

$$\gamma_{\varphi'} = \gamma_\varphi.$$

Кроме того, так как $u \propto g^2$, то $Z_u = Z_g^2$, а значит $\gamma_u = 2\gamma_g$.

Для второй модели (18) появляется дополнительная аномальная размерность:

$$\gamma_7 = \gamma_\lambda + 2\gamma_{\varphi'} \quad (39)$$

Теперь можно разрешить соотношения (38) и (39) относительно РГ-функций, входящих в уравнение РГ. Для модели (17) с взаимодействием Грибова получаем:

$$\begin{aligned} \gamma_{\varphi'} = \gamma_\varphi = \frac{1}{2} \gamma_1, \quad \gamma_\lambda = \gamma_2 - \gamma_1, \\ \gamma_f = \gamma_3 - \gamma_2, \quad \gamma_\tau = \gamma_4 - \gamma_2, \\ \gamma_g = \gamma_5 - \frac{3}{4} \gamma_2 - \frac{1}{4} \gamma_3 - \frac{1}{2} \gamma_1, \quad \gamma_w = \gamma_1 - \gamma_3 \end{aligned} \quad (40)$$

Выпишем сразу явные однопетлевые выражения для указанных величин, используя (27) и приближенное равенство, верное в первом порядке по ε и ξ :

$$\gamma_F = (\beta_u \partial_u + \beta_w \partial_w) \ln Z_F \simeq -(\varepsilon \mathcal{D}_u + \xi \mathcal{D}_w) \ln Z_F. \quad (41)$$

(При выводе этого выражения учтено, что величины Z зависят только от констант связи u и w .)

$$\begin{aligned} \gamma_1 &= -\frac{u}{4} + O(u^2), & \gamma_2 &= -\frac{u}{8} + O(u^2), & \gamma_3 &= -\frac{u}{8} + w + O(u^2), \\ \gamma_4 &= -\frac{u}{2} + O(u^2), & \gamma_5 &= -u + O(u^2). \end{aligned} \quad (42)$$

Из (40) тогда находим:

$$\begin{aligned} \gamma_{\varphi'} &= \gamma_{\varphi} = -\frac{u}{8} + O(u^2), & \gamma_{\lambda} &= \frac{u}{8} + O(u^2), & \gamma_f &= w + O(u^2), \\ \gamma_{\tau} &= -\frac{3u}{8} + O(u^2), & \gamma_g &= -\frac{3u}{4} - \frac{w}{4} + O(u^2), & \gamma_w &= -\frac{u}{8} - w + O(u^2). \end{aligned} \quad (43)$$

Символ $O(u^2)$ здесь обозначает все старшие вклады типа u^2, w^2, uw и т.д. Аналогичные выражения для второй модели (18):

$$\begin{aligned} \gamma_{\varphi'} &= \frac{1}{2}(\gamma_7 + \gamma_1 - \gamma_2), & \gamma_{\varphi} &= \frac{1}{2}(-\gamma_7 + \gamma_1 + \gamma_2), \\ \gamma_{\lambda} &= \gamma_2 - \gamma_1, & \gamma_f &= \gamma_3 - \gamma_2, & \gamma_{\tau} &= \gamma_4 - \gamma_2, \\ \gamma_g &= \frac{1}{2}\left(\gamma_7 - \gamma_1 - \frac{5}{2}\gamma_2 - \frac{1}{2}\gamma_3 + 2\gamma_5\right), & \gamma_w &= \gamma_1 - \gamma_3. \end{aligned} \quad (44)$$

В однопетлевом приближении, используя (32), получаем:

$$\begin{aligned} \gamma_1 &= \gamma_7 = \frac{u}{2} + O(u^2), & \gamma_2 &= \frac{u}{3} + O(u^2), \\ \gamma_3 &= \frac{u}{3} + w + O(u^2), & \gamma_4 &= \gamma_5 = 2u + O(u^2). \end{aligned} \quad (45)$$

Используя (44), находим:

$$\begin{aligned} \gamma_{\varphi'} &= \frac{u}{3} + O(u^2), & \gamma_{\varphi} &= \frac{u}{6} + O(u^2), & \gamma_{\lambda} &= -\frac{u}{6} + O(u^2), \\ \gamma_f &= w + O(u^2), & \gamma_{\tau} &= \frac{5u}{3} + O(u^2), \\ \gamma_g &= \frac{3u}{2} - \frac{w}{4} + O(u^2), & \gamma_w &= \frac{u}{6} - w + O(u^2). \end{aligned} \quad (46)$$

6 Неподвижные точки

Как известно, возможные скейлинговые режимы (типы асимптотического поведения корреляционных функций в ИК-области) ренормируемой модели связаны с ИК-устойчивыми неподвижными точками уравнений ренормгруппы.

В общем случае неподвижные точки определяются условием обращения в нуль всех β -функций. В наших моделях координаты u_* , w_* неподвижных точек находятся из уравнений:

$$\beta_u(u_*, w_*) = 0, \quad \beta_w(u_*, w_*) = 0, \quad (47)$$

где β -функции определены в (37). Тип неподвижной точки определяется матрицей:

$$\Omega = \{\Omega_{ij} = \partial\beta_i/\partial g_j\}, \quad (48)$$

где β_i обозначает полный набор β -функций и $g_j = \{u, \omega\}$ – полный набор констант связи. Для ИК-устойчивой неподвижной точки матрица Ω положительно определена, т.е. вещественные части всех собственных чисел больше нуля.

Рассмотрим сперва модель (17). Из определения (37) и явных выражений (43) для аномальных размерностей, мы получаем следующие явные выражения (в главном порядке) для β -функций:

$$\beta_u = u \left[-\varepsilon + \frac{3u}{2} + \frac{w}{2} \right], \quad \beta_w = w \left[-\xi + \frac{u}{8} + w \right]. \quad (49)$$

Из (47) и (49) мы можем найти четыре различные неподвижные точки:

1. Гауссова (свободная) неподвижная точка: $u_* = w_* = 0$;

$$\Omega_{ij} = \begin{pmatrix} -\varepsilon & 0 \\ 0 & -\xi \end{pmatrix}. \quad (50)$$

2. $u_* = 0$; $w_* = \xi$;

$$\Omega_{ij} = \begin{pmatrix} -\varepsilon + \frac{\xi}{2} & 0 \\ \frac{\xi}{8} & \xi \end{pmatrix}. \quad (51)$$

3. $w_* = 0$; $u_* = \frac{2\varepsilon}{3}$;

$$\Omega_{ij} = \begin{pmatrix} \varepsilon & \frac{\varepsilon}{3} \\ 0 & -\xi + \frac{\varepsilon}{12} \end{pmatrix}. \quad (52)$$

4. $u_* = \frac{8}{23}(2\varepsilon - \xi)$; $w_* = \frac{2}{23}(12\xi - \varepsilon)$;

$$\Omega_{ij} = \begin{pmatrix} \frac{12}{23}(2\varepsilon - \xi) & \frac{4}{23}(-\xi + 2\varepsilon) \\ \frac{1}{23}(3\xi - 4\varepsilon) & \frac{2}{23}(12\xi - \varepsilon) \end{pmatrix}. \quad (53)$$

Для трех первых точек собственные числа матриц Ω совпадают, очевидно, с их диагональными элементами, а для последнего случая они равны

$$\lambda_{1,2} = \frac{11\varepsilon}{23} + \frac{6\xi}{23} \pm \frac{\sqrt{167\varepsilon^2 - 443\varepsilon\xi + 312\xi^2}}{23}. \quad (54)$$

Выражение под корнем положительно для любых ε, ξ , так что эти собственные числа вещественны.

Обратимся к модели (18). Для β -функций имеем:

$$\beta_u = u \left[-\varepsilon - 3u + \frac{w}{2} \right], \quad \beta_w = w \left[-\xi - \frac{u}{6} + w \right]. \quad (55)$$

Из (47) и (49) вновь можно найти четыре неподвижные точки;

1'. Гауссова (свободная) неподвижная точка: $u_* = w_* = 0$;

$$\Omega_{ij} = \begin{pmatrix} -\varepsilon & 0 \\ 0 & -\xi \end{pmatrix}. \quad (56)$$

2'. $u_* = 0$; $w_* = \xi$;

$$\Omega_{ij} = \begin{pmatrix} -\varepsilon + \frac{\xi}{2} & 0 \\ -\frac{\xi}{6} & \xi \end{pmatrix}. \quad (57)$$

3'. $w_* = 0$; $u_* = -\frac{\varepsilon}{3}$;

$$\Omega_{ij} = \begin{pmatrix} \varepsilon & -\frac{\varepsilon}{6} \\ 0 & -\xi + \frac{\varepsilon}{18} \end{pmatrix}. \quad (58)$$

4'. $u_* = \frac{6}{35}(-2\varepsilon + \xi)$; $w_* = \frac{2}{35}(18\xi - \varepsilon)$;

$$\Omega_{ij} = \begin{pmatrix} \frac{18}{35}(2\varepsilon - \xi) & \frac{3}{35}(\xi - 2\varepsilon) \\ \frac{1}{105}(\varepsilon - 18\xi) & \frac{2}{35}(18\xi - \varepsilon) \end{pmatrix}. \quad (59)$$

Для трех первых точек собственные числа матриц Ω вновь совпадают с их диагональными элементами, а для последнего случая они таковы

$$\lambda_{1,2} = \frac{17\varepsilon}{35} + \frac{9\xi}{35} \pm \frac{\sqrt{359\varepsilon^2 - 989\varepsilon\xi + 711\xi^2}}{35}. \quad (60)$$

и также вещественны при любых значениях ε, ξ .

Здесь необходимо сделать следующее важное замечание. Для неподвижных точек 3' и 4', в которых величина u_* отлична от нуля, она отрицательна. Тем самым, в

силу соотношения $u \propto g^2$, такая точка не реализуется в модели с вещественной константой связи g . Однако даже простая статическая модель с взаимодействием $g\varphi^3$ в таком случае является, по-видимому, неустойчивой, так как ее потенциал взаимодействия не ограничен снизу (функциональный интеграл “расходится”). Напротив, такая модель с чисто мнимой константой связи оказывается состоятельной и имеет физические приложения: она описывает критическое поведение вблизи т.н. края Янга-Ли (см. например [14]) и, что важно для в данном случае, описывает универсальные свойства метастабильных состояний, возникающих при фазовых переходах первого рода [10]. Более того, в псевдоевклидовом случае она отвечает удовлетворительной модели квантовой теории поля (спектр энергии положителен и ограничен снизу), см. [15]. Перейти к такой модели можно с помощью подстановки $g \rightarrow ig$. При этом во всех константах Z и функциях γ и β произойдет замена $u \rightarrow -u$, а величина u_* станет положительной. Поскольку такая замена никак не отразится на областях устойчивости и критических размерностях, мы не будем выполнять ее явно, а просто в дальнейшем будем считать константу взаимодействия g чисто мнимой.

В обеих моделях первая точка относится к гауссову режиму (свободная теория поля), когда ни одно из взаимодействий не влияет на критическое поведение (только в главном приближении ИК-асимптотики – т.к. они присутствуют в действии и определяют поправки к главным членам). Вторые точки отвечают критическому режиму, в котором нелинейности исходных моделей (взаимодействие Грибова и взаимодействие $\varphi'\varphi^2$ второй модели) оказываются несущественными с точки зрения критического поведения, это случай пассивного скалярного поля без самодействия, претерпевающего лишь турбулентный перенос. Для третьих точек в том же смысле оказывается несущественным турбулентное перемешивание, т.е. критическое поведение для них такое же, как в исходных моделях без поля скорости. Последняя, наиболее интересная, неподвижная точка в обеих моделях соответствует новому скейлинговому ИК-режиму, в котором существенны обе нелинейности. Соответствующие критические размерности зависят от обоих параметров ε, ξ уже в главном порядке и вычисляются как двойные ряды по этим параметрам.

Области ИК устойчивости для этих неподвижных точек в плоскости ξ – ε (т.е. области значений ε и ξ для которых собственные числа матрицы Ω для данной неподвижной точки положительны) для моделей (17) и (18) представлены на рисунке 1.

В главных приближениях (49) и (55) все границы областей устойчивости – просто прямые линии (границы этих областей, как уже было упомянуто, находятся из условия смены знака собственных чисел матрицы Ω). Таким образом в обеих моделях при любых ε и ξ мы попадаем в устойчивую область какой-то конкретной неподвижной точки; нет никаких “щелей” и перекрытий между различными областями (когда одновременно возникают несколько возможных скейлинговых режимов, выбор точки определяется начальными данными для уравнения ренормгруппы). В этом смысле критическое поведение универсально. Можно показать, что такая ситуация сохранится и при учете старших порядков в β -функциях, хотя сами границы могут при

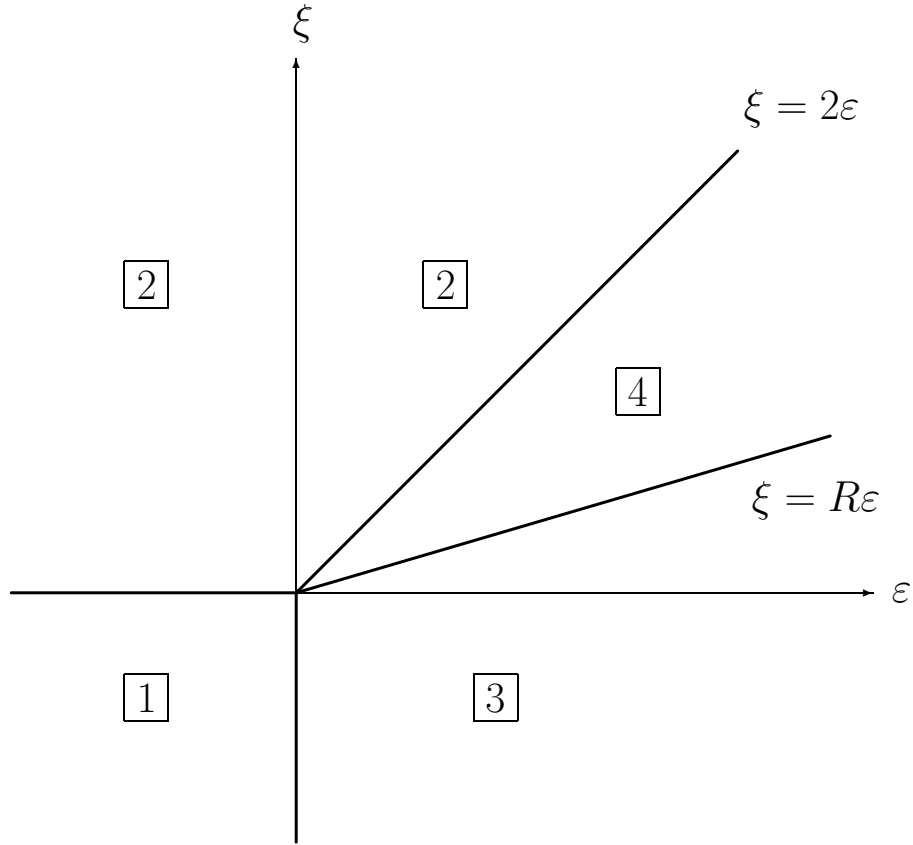


Рисунок 1. Области ИК-устойчивости неподвижных точек для моделей (17) и (18).
В первом случае $\varepsilon = 4 - d$ и $R = 1/12$, во втором – $\varepsilon = 6 - d$ и $R = 1/18$.

этом искривляться. Это – следствие того факта, что у нас частные случаи $w = 0$ или $u = 0$ сами соответствуют замкнутым относительно ренормировки моделям, β -функции которых известны и имеют только одну гауссову и одну нетривиальную неподвижные точки.

Полученные результаты аналогичны выводам работы [8], где рассматривался тот же тип турбулентного перемешивания для критической динамики модели φ^4 (известной как модель A): характер неподвижных точек и области их устойчивости для всех трех случаев схожи. В частности, в однопетлевом приближении картина областей устойчивости для модели A дается рисунком 1 с $R = 0$ и $\varepsilon = 4 - d$. Видно, что при изменении исходной (без турбулентного перемешивания) модели смещается только граница, разделяющая области 3 и 4 ($\xi = \varepsilon/12$, $\xi = \varepsilon/18$ – у нас и $\xi = 0$ – в работе [8]). Это явление нетрудно объяснить. Во всех этих моделях β -функции имеют вид

$$\beta_u = u(-\varepsilon + au + bw), \quad \beta_w = w(-\xi + cu + dw)$$

с некоторыми параметрами a, b, c, d . Можно убедиться, что граница между областями 2 и 4 определяется значениями параметров b, d , которые сами находятся из диаграмм, не включающих нелинейности по скалярным полям. Напротив, граница между областями 4 и 3 определяется параметрами a, c , которые находятся по диаграммам без участия поля скорости. Поэтому граница областей 2 и 4 определяется ансамблем поля скорости (и одинакова для всех трех упомянутых выше моделей), а граница областей 3 и 4 определяется исходной моделью без турбулентного переноса и для всех этих случаев различна. Вероятнее всего, в данном случае это – свойства однопетлевого приближения.

7 Критический скейлинг и критические размерности

Напомним математическое определение обобщенной однородности. Пусть F – некая функция от n независимых аргументов $\{x_1, \dots, x_n\}$, удовлетворяющая следующему размерному соотношению

$$F(\lambda^{\alpha_1} x_1, \dots, \lambda^{\alpha_n} x_n) = \lambda^{\alpha_F} F(x_1, \dots, x_n) \quad (61)$$

с определенным набором постоянных коэффициентов (скейлинговых размерностей) $\{\alpha_1, \dots, \alpha_n, \alpha_F\}$ и произвольным положительным параметром $\lambda > 0$. Дифференцируя соотношение (61) по λ и затем полагая $\lambda = 1$, получаем дифференциальное уравнение первого порядка с постоянными коэффициентами

$$\sum_{i=1}^n \alpha_i \mathcal{D}_i F(x_1, \dots, x_n) = \alpha_F F(x_1, \dots, x_n), \quad \mathcal{D}_i = x_i \partial / \partial x_i \quad (62)$$

общее решение которого выглядит следующим образом

$$F(x_1, x_2, \dots, x_n) = x_1^{\alpha_F/\alpha_1} \tilde{F}\left(\frac{x_2}{x_1^{\alpha_2/\alpha_1}}, \dots, \frac{x_n}{x_1^{\alpha_n/\alpha_1}}\right), \quad (63)$$

где \tilde{F} – произвольная функция от $(n-1)$ аргумента. Очевидно, размерности определены с точностью до общего множителя (видно из замены $\lambda \rightarrow \lambda^a$ в (61) или умножения (62) на a); эта произвольность может быть устранена, например, если положить $\alpha_1 = 1$. Если $\alpha_i = 0$ для какого-нибудь x_i , то эта переменная не преобразуется в (61), и соответствующая производная в (62) отсутствует.

Хорошо известно, что главный член, определяющий асимптотическое поведение (ренормированной) корреляционной функции на больших расстояниях, удовлетворяет РГ уравнению (34), в котором ренормированные константы связи заменены на их значения в неподвижных точках. В нашем случае это приводит к

$$\{D_\mu - \gamma_f^* D_f - \gamma_\lambda^* D_\lambda - \gamma_\tau^* D_\tau + \gamma_\Phi^* N_\Phi\} G_{N_\Phi} = 0, \quad (64)$$

где $\gamma_f^* = \gamma_f(g = g_*, w = w_*)$ и так далее, G_{N_Φ} – ренормированная корреляционная функция с $N_\Phi = \{N_{\varphi'}, N_\varphi, N_v\}$ полями (подразумевается суммирование по повторяющимся индексам).

Каноническая масштабная инвариантность функции G_{N_Φ} по отношению к трем независимым размерностям может быть выражена с помощью трех дифференциальных уравнений в форме (62). Действительно, из безразмерности действия вытекает его инвариантность относительно преобразования типа $\varphi(x) \rightarrow \lambda^{d_\varphi} \varphi(\lambda^{-1}x)$ и т.д., а из этого вытекает свойство (61) для корреляционных функций, и, следовательно, система дифференциальных уравнений.

Канонические размерности полей в наших двух моделях, согласно таблицам 1 и 2, отличаются, поэтому выпишем пока указанные дифференциальные уравнения, не подставляя конкретные выражения.

$$\{D_\omega + D_\lambda - d_\Phi^\omega N_\Phi\} G_{N_\Phi} = 0, \quad (65)$$

$$\{D_\perp + D_\mu - 2D_\lambda + 2D_f + 2D_\tau - d_\Phi^\perp N_\Phi\} G_{N_\Phi} = 0, \quad (66)$$

$$\{D_\parallel - 2D_f - d_\Phi^\parallel N_\Phi\} G_{N_\Phi} = 0, \quad (67)$$

где $D_\parallel = k_\parallel \partial / \partial k_\parallel$, $D_\perp = k_\perp \partial / \partial k_\perp$. Ясно, что уравнение (64) соответствует скейлинговому поведению типа (61) функции G_{N_Φ} при растягиваемых параметрах μ , λ , f и τ и при фиксированных импульсно-частотных переменных. Нас интересует критическое скейлинговое поведение, т.е. поведение типа (61), в котором все ИК существенные параметры (импульс/координата, время/частота, параметр τ) меняются, в то время как ИК несущественные параметры (такие, которые конечны в неподвижной точке: λ , μ и f) фиксированы. Для этого мы скомбинируем уравнения (64)–(67) так, что производные по ИК несущественным параметрам исключатся; это приведет нас к желаемому уравнению, которое описывает критическое скейлинговое поведение:

$$\{D_\perp + \Delta_\parallel D_\parallel + \Delta_\omega D_\omega + \Delta_\tau D_\tau - N_\Phi \Delta_\Phi\} G_{N_\Phi} = 0. \quad (68)$$

здесь $\Delta_\perp = 1$ – условие нормировки, а критическая размерность любого ИК-существенного параметра F дается общим выражением

$$\Delta_F = d_F^\perp + \Delta_\parallel d_F^\parallel + \Delta_\omega d_F^\omega + \gamma_F^*, \quad (69)$$

с каноническими размерностями из таблиц 1 и 2 и соотношениями

$$\Delta_\omega = 2 - \gamma_\lambda^*, \quad \Delta_\parallel = (2 + \gamma_f^*) / 2. \quad (70)$$

Выпишем теперь конечные однопетлевые результаты для критических размерностей. Для модели с взаимодействием Грибова (17) общие формулы (69) и (70) принимают вид:

$$\begin{aligned} \Delta_\omega &= 2 - \frac{u^*}{8}, & \Delta_\parallel &= 1 + \frac{w^*}{2} \\ \Delta_{\varphi'} &= \Delta_\varphi = \frac{d}{2} - \frac{u^*}{8} + \frac{w^*}{4}, & \Delta_\tau &= 2 - \frac{3u^*}{8}. \end{aligned} \quad (71)$$

Подставляя явные выражения для координат неподвижных точек, с учетом $d = 4 - \varepsilon$ получаем:

Для случая 1:

$$\Delta_\omega = 2, \quad \Delta_\parallel = 1, \quad \Delta_{\varphi'} = \Delta_\varphi = \frac{d}{2} = 2 - \frac{\varepsilon}{2}, \quad \Delta_\tau = 2. \quad (72)$$

Для случая 2:

$$\Delta_\omega = 2, \quad \Delta_\parallel = 1 + \frac{\xi}{2}, \quad \Delta_{\varphi'} = \Delta_\varphi = \frac{d}{2} + \frac{\xi}{4} = 2 - \frac{\varepsilon}{2} + \frac{\xi}{4}, \quad \Delta_\tau = 2. \quad (73)$$

Для случая 3:

$$\Delta_\omega = 2 - \frac{\varepsilon}{12}, \quad \Delta_\parallel = 1, \quad \Delta_{\varphi'} = \Delta_\varphi = \frac{d}{2} - \frac{\varepsilon}{12} = 2 - \frac{7\varepsilon}{12}, \quad \Delta_\tau = 2 - \frac{\varepsilon}{4}. \quad (74)$$

Для случая 4:

$$\begin{aligned} \Delta_\omega &= 2 - \frac{1}{23}(2\varepsilon - \xi), \quad \Delta_\parallel = 1 + \frac{1}{23}(12\xi - \varepsilon), \\ \Delta_{\varphi'} = \Delta_\varphi &= \frac{d}{2} + \frac{1}{46}(14\xi - 5\varepsilon) = 2 + \frac{1}{23}(7\xi - 14\varepsilon), \quad \Delta_\tau = 2 + \frac{3}{23}(\xi - 2\varepsilon). \end{aligned} \quad (75)$$

Повторим для второй модели (18), общие формулы (69) и (70) для этой модели имеют вид:

$$\begin{aligned} \Delta_\omega &= 2 + \frac{u^*}{6}, \quad \Delta_\parallel = 1 + \frac{w^*}{2}, \quad \Delta_\tau = 2 + \frac{5u^*}{3} \\ \Delta_{\varphi'} &= \frac{d}{2} + 1 + \frac{u^*}{3} + \frac{w^*}{4}, \quad \Delta_\varphi = \frac{d}{2} - 1 + \frac{u^*}{6} + \frac{w^*}{4}. \end{aligned} \quad (76)$$

Подставляя явные выражения для координат неподвижных точек этой модели, получаем (теперь $d = 6 - \varepsilon$):

Для случая 1':

$$\begin{aligned} \Delta_\omega &= 2, \quad \Delta_\parallel = 1, \quad \Delta_\tau = 2, \\ \Delta_{\varphi'} &= \frac{d}{2} + 1 = 4 - \frac{\varepsilon}{2}, \quad \Delta_\varphi = \frac{d}{2} - 1 = 2 - \frac{\varepsilon}{2}. \end{aligned} \quad (77)$$

Для случая 2':

$$\begin{aligned} \Delta_\omega &= 2, \quad \Delta_\parallel = 1 + \frac{\xi}{2}, \quad \Delta_\tau = 2, \\ \Delta_{\varphi'} &= \frac{d}{2} + 1 + \frac{\xi}{4} = 4 - \frac{\varepsilon}{2} + \frac{\xi}{4}, \quad \Delta_\varphi = \frac{d}{2} - 1 + \frac{\xi}{4} = 2 - \frac{\varepsilon}{2} + \frac{\xi}{4}. \end{aligned} \quad (78)$$

Для случая 3':

$$\begin{aligned}\Delta_\omega &= 2 - \frac{\varepsilon}{18}, \quad \Delta_\parallel = 1, \quad \Delta_\tau = 2 - \frac{5\varepsilon}{9}, \\ \Delta_{\varphi'} &= \frac{d}{2} + 1 - \frac{\varepsilon}{9} = 4 - \frac{11\varepsilon}{18}, \quad \Delta_\varphi = \frac{d}{2} - 1 - \frac{\varepsilon}{18} = 2 - \frac{5\varepsilon}{9}.\end{aligned}\quad (79)$$

Для случая 4':

$$\begin{aligned}\Delta_\omega &= 2 + \frac{1}{35}(\xi - 2\varepsilon), \quad \Delta_\parallel = 1 + \frac{1}{35}(18\xi - \varepsilon), \quad \Delta_\tau = 2 + \frac{2}{7}(\xi - 2\varepsilon), \\ \Delta_{\varphi'} &= \frac{d}{2} + 1 + \frac{1}{70}(22\xi - 9\varepsilon) = 4 + \frac{11}{35}(\xi - 2\varepsilon), \\ \Delta_\varphi &= \frac{d}{2} - 1 + \frac{1}{14}(4\xi - \varepsilon) = 2 + \frac{2}{7}(\xi - 2\varepsilon).\end{aligned}\quad (80)$$

Все ответы для первых и вторых случаев – точные. Прочие размерности имеют поправки – старшие степени по ε для третьих случаев и по ε и ξ – для последних. Их расчет требует выхода за рамки однопетлевого приближения. Остается заметить, что в первом порядке критические размерности (72)–(75) и (77)–(80) на общих границах, разделяющих области устойчивости неподвижных точек, совпадают, т.е. оказываются непрерывными на этих прямых.

В качестве иллюстрации общих скейлинговых соотношений с размерностями (71)–(75) и (76)–(80) рассмотрим закон распывания облака частиц распространяющегося в критической среде “агента”. Для простоты положим $\tau = 0$, т.е. будем рассматривать непосредственно критическую точку.

В изотропном случае среднеквадратичный радиус облака выражается через функцию отклика следующим образом:

$$R^2(t) = \int d^d \mathbf{x} x^2 \langle \varphi'(0, \mathbf{0}) \varphi(t, \mathbf{x}) \rangle. \quad (81)$$

В нашем случае будем рассматривать аналоги величины (81) для отдельных компонент:

$$R_i^2(t) = \int d^{d-1} \mathbf{x}_\perp \int dx_\parallel x_i^2 \langle \varphi'(0, 0, \mathbf{0}) \varphi(t, x_\parallel, \mathbf{x}_\perp) \rangle, \quad (82)$$

где явно разделена зависимость от параллельных и перпендикулярных компонент \mathbf{x} . Подставим в (82) вытекающее из формул предыдущих разделов асимптотическое скейлинговое представление для функции отклика при $\tau = 0$:

$$\langle \varphi'(0, 0, \mathbf{0}) \varphi(t, x_\parallel, \mathbf{x}_\perp) \rangle = x_\perp^{-\Delta_\varphi - \Delta_{\varphi'}} F(x_\perp t^{-1/\Delta_\omega}, x_\parallel t^{-\Delta_\parallel/\Delta_\omega}),$$

где $x_\perp = |\mathbf{x}_\perp|$ и F – некоторая функция полностью безразмерных (в смысле критического скейлинга) аргументов. Перейдем к новым переменным

$$y_\perp = x_\perp t^{-1/\Delta_\omega}, \quad y_\parallel = x_\parallel t^{-\Delta_\parallel/\Delta_\omega},$$

так что вся зависимость от времени t выделится из интегралов (82) в виде степенных множителей. При этом для перпендикулярной и параллельной компонент получаем:

$$R_{\perp}^2(t) \propto t^{\alpha_{\perp}}, \quad R_{\parallel}^2(t) \propto t^{\alpha_{\parallel}}$$

с показателями

$$\alpha_{\perp} = (d + 1 + \Delta_{\parallel} - \Delta_{\varphi} - \Delta_{\varphi'}) / \Delta_{\omega}, \quad \alpha_{\parallel} = (d - 1 + 3\Delta_{\parallel} - \Delta_{\varphi} - \Delta_{\varphi'}) / \Delta_{\omega}. \quad (83)$$

Для изотропных режимов 1 и 3 (для обеих моделей) эти показатели совпадают, $\alpha_{\parallel} = \alpha_{\perp}$, причем для гауссовой точки получаем обычный закон диффузионного расплывания $R(t) \propto t^{1/2}$. Для режимов 2 и 4 расплывание облака оказывается анизотропным. В частности, для режима 2 (чисто турбулентный перенос пассивного скаляра) для обеих моделей получаем $\alpha_{\perp} = 1$ и $\alpha_{\parallel} = 1 + \xi/2$, то есть в перпендикулярном “поток” направлении происходит простая диффузия, $R_{\perp}^2(t) \propto t$, а в направлении потока расплывание ускоряется, $R_{\parallel}^2(t) \propto t^{1+\xi/2}$. Последнее соотношение для “колмогоровского” значения $\xi = 4/3$ дает $R_{\parallel}^2(t) \propto t^{5/3}$, что можно представить также в виде $dR_{\parallel}^2/dt \propto R_{\parallel}^{4/5}$. Полученный “закон 4/5” отличается от известного “закона 4/3 Ричардсона” для изотропной турбулентности.

Для режима 4 оба показателя (83) нетривиальны, не равны друг другу и зависят от обоих параметров ренормгруппового разложения ε и ξ .

8 Заключение

Мы рассматривали критическое поведение двух динамических моделей: процесса Грибова и модели, описывающей фазовый переход первого рода в системе жидкость-пар. Поле скорости моделировалось гауссовой статистикой с исчезающим разновременным коррелятором и сильно анизотропной корреляционной функцией $\propto \delta(t - t')/k_{\perp}^{d-1+\xi}$; см. выражения (8), (9).

Модели, изначально описываемые стохастическими дифференциальными уравнениями (1) и (3) с корреляторами шума (2) и (4), могут быть переформулированы в терминах мультипликативно-ренормируемых теорий поля, что позволяет применять метод ренормгруппы для изучения их критического поведения. Обе модели обнаруживают четыре разных ИК асимптотических режима, определяемых четырьмя различными неподвижными точками уравнения РГ; их области устойчивости в координатах ε - ξ найдены в главном порядке и отражены на рисунке 1. Эти режимы относятся к: (1) свободной неподвижной точке, (2) пассивному (нет обратного влияния на поле скорости) скалярному полю (пренебрежимым становится член самодействия полей φ и φ'), (3) равновесной критической динамике (взаимодействие с полем скорости становится несущественным) и (4) наиболее нетривиальному сильно анизотропному режиму, в котором одинаково существенны оба взаимодействия.

Эти результаты получены, однако, в рамках однопетлевого приближения РГ, то есть в главном порядке разложения по константам связи (для аномальных размерностей и β -функций) или параметров отклонения от логарифмичности ε и ξ (для критических размерностей, неподвижных точек и областей их устойчивости). Возможность их экстраполяции к реальным конечным значениям ε и ξ и достоверность полученных на их основе численных оценок для размерностей может вызывать сомнения, особенно для случая $\varepsilon = 6 - d$.

Серьезный анализ этих вопросов требует вычислений вкладов высших порядков РГ-разложений и применения к ним каких-либо процедур суммирования, как это было сделано, например, в работе [16] для статических моделей с кубичным взаимодействием типа φ^3 . Подобный анализ выходит далеко за рамки данной работы, и мы надеемся выполнить его в дальнейшем. Однако, можно уже сейчас привести некоторые аргументы в пользу сохранения описанной в разделе 6 картины неподвижных точек при реальных значениях параметров. Именно, при $u = 0$ либо $w = 0$ наши модели сводятся к известным и относительно хорошо изученным моделям – анизотропной версии модели Обухова–Крейчнана [11] либо моделям критического поведения без учета движения среды. Поэтому положение неподвижных точек типа 2 и 3 полностью определяется β -функциями этих моделей. При этом положение точек 2 дается однопетлевым приближением точно; см. например [13]. В свою очередь, положение точек типа 3 определяется β -функциями моделей [2] и [16], которые известны в двух- и трехпетлевом приближении, соответственно. Выполненный в этих работах анализ подсказывает, что найденные в рамках ε -разложений точки “выживают” и при реальных ε . Тогда можно предположить, что и наиболее интересные для нас новые точки типа 4, лежащие в плоскости констант связи u – w в квадранте, ограниченном точками 1–3, также сохраняют свое положение и характер устойчивости при реальных значениях ε и ξ .

Таким образом мы можем заключить, что наши упрощенные модели с гауссовым распределением скорости уже в главном однопетлевом приближении улавливают наиболее важные характеристики фазовых переходов в турбулентной среде: неустойчивость равновесного критического режима, появление новых неравновесных классов универсальности с новыми наборами критических показателей, достаточно сильно отличающихся от классических, и существование (для сильно анизотропного поля скорости) двух независимых масштабов длины.

Авторы благодарят Л.Ц.Аджемяна, М.Гнатича и М.Ю.Налимова за полезные обсуждения. Работа выполнена при поддержке Российского Фонда Фундаментальных Исследований (грант 08-02-00125а) и Российской Национальной Программы (грант 2.1.1/1575). А.В.М. благодарит за поддержку фонд “Династия”.

Список литературы

- [1] *Васильев А.Н.* Квантово-полевая ренормгруппа в теории критического поведения и стохастической динамике. СПб.: Изд-во ПИЯФ, 1998.
- [2] *Janssen H.-K., Täuber U.C.* // Ann. Phys. (NY) 2004. V.315. P.147.
- [3] *Иванов Д.Ю.* Критическое поведение неидеализированных систем. Москва: Физматлит, 2003.
- [4] *Onuki A., Kawasaki K.* // Progr. Theor. Phys. 1980. V.63. P.122;
Imaeda T., Onuki A., Kawasaki K. // Progr. Theor. Phys. 1984. V.71. P.16.
- [5] *Beysens D., Gbadamassi M., Boyer L.* // Phys. Rev. Lett. 1979. V.43. P.1253;
Beysens D., Gbadamassi M. // J. Phys. Lett. 1979. V.40. P.L565.
- [6] *Ruiz R., Nelson D.R.* // Phys. Rev. A. 1981 V.23. P.3224; V.24. P.2727;
Aronowitz A., Nelson D.R. // Phys. Rev. A. 1984. V.29. P.2012.
- [7] *Antonov N.V., Hnatich M., Honkonen J.* // J. Phys. A: Math. Gen. 2006. V.39. P.7867.
- [8] *Antonov N.V., Ignatieva A.A.* // J. Phys. A: Math. Gen. 2006. V.39. P.13593;
Antonov N.V., Ignatieva A.A., Malyshev A.V. // Phys. Particles and Nuclei. 2010. V.41. P.998.
- [9] *Antonov N.V., Iglovikov V.I., Kapustin A.S.* // J. Phys. A: Math. Theor. 2009. V.42. P.135001;
Antonov N.V., Kapustin A.S. // J. Phys. A: Math. Theor. 2010. V.43. P.405001.
- [10] *Zhong F., Chen Q.* // Phys. Rev. Lett. 2005. V.95. P.175701.
- [11] *Avellaneda M., Majda A.* // Commun. Math. Phys. 1990. V.131. P.381; 1992. V.146. P.139.
- [12] *Falkovich G., Gawędzki K., Vergassola M.* // Rev. Mod. Phys. 2001. V.73. P.913.
- [13] *Antonov N.V.* // J. Phys. A: Math. Gen. 2006. V.39. P.7825.
- [14] *Fisher M.* // Phys. Rev. Lett. 1978. V.40. P.1610.
- [15] *Bender C.M., Brody D.C., Jones H.F.* // Phys. Rev. Lett. 2004. V.93. P.251601.
- [16] *de Alcantara Bonfim O.F., Kirkham J.E., McKane A.J.* // J. Phys. A: Math. Gen. 1980. V.L247. P.13; 1981. V.14. P.2391.

Effects of strongly anisotropic turbulent mixing on the critical behavior of two non-conventional systems.

N.V. Antonov, A.V.Malyshev

Effects of strongly anisotropic turbulent mixing on the critical behavior are studied for two systems: critical dynamics of the φ^3 model, which describes universal characteristics of metastable states near the first-order transition points, and the non-equilibrium reaction-diffusion system near the second-order transition between the absorbing and fluctuating states (known as simple epidemic process or Gribov process). For the both cases, existence of new non-equilibrium anisotropic types of critical regimes (universality classes) is established, for which both the mixing and the non-linearity in the order parameter are relevant. The corresponding critical dimensions are calculated in the one-loop approximation of the renormalization group.